

|                                    |                     |                    |
|------------------------------------|---------------------|--------------------|
| N-アセチル-L-システイン                     | デオキシコール酸ナトリウム       | ラクトロース             |
| N-アセチル-L-システイン                     | デヒドロコール酸及びその塩類      | ラクトビオン酸            |
| N-ステアロイル-L-グルタミン酸ナトリウム             | トリアセチン              | ラクトビオン酸エリスロマイシン    |
| N-ヤシ油脂肪酸/硬化牛脂脂肪酸アシル-L-グルタミン酸ナトリウム  | トリアムシノロンアセトニト       | ラノリン               |
| N-ラウロイル-L-グルタミン酸ジ(コレステリル・オクチルドデシル) | トリオレイン酸ソルビタン        | ラノリンアルコール          |
| αモノイソステアリルグリセリルエーテル                | トリステアリン酸ソルビタン       | ラノリン脂肪酸コレステロールエステル |
| アセチルしょ糖変性アルコール<br>95vol%           | トリ牛脂脂肪酸グリセリル        | リンゴ酸システィン          |
| アマコール CAB                          | 乳糖                  | リンゴ酸システィン          |
| アルファカルシドール                         | ハイドロキシアパタイト         | リン酸ヒドロコルチゾンナトリウム   |
| イソステアリン酸                           | ハートファット             | リン酸ペタメタゾン及びその塩類    |
| ウルソデオキシコール酸                        | パナセート 810           | リン酸リボフラビンナトリウム     |
| ウルソデスオキシコール酸                       | パルミチン酸イソプロピル        | レシチン               |
| エタノール・無水エタノール                      | パルミチン酸セチル           | 塩酸 L-エチルシスティン      |
| エピジヒドロコレステリン                       | ヒオデオキシコール酸メチル       | 塩酸 L-メチルシスティン      |
| オレイルアルコール                          | ビタミン A+D2 末         | 還元ラノリン             |
| オレイン酸                              | ビタミン B12            | 吉草酸ペタメタゾン          |
| オレイン酸デシル                           | ビタミン D              | 吉草酸酢酸ブレドニゾロン       |
| カプリル酸、カプリン酸                        | ビタミン D2             | 脂肪酸(牛脂由来)          |
| ガラクトース                             | ビタミン D3             | 自己乳化型モノステアリン酸グリセリン |
| カルシリオリオール                          | ヒドロキシステアリン酸コレステリル   | 親油型モノステアリン酸グリセリン   |
| 牛脂                                 | ヒドロコルチゾン            | 酢酸ゴナドレリン           |
| 牛脂硬化油                              | ファルネシル酸ブレドニゾロン      | 酢酸デキサメタゾン          |
| グリセリルトリアセチン<br>95vol%              | フェニルエチルアルコール変性アルコール | 酢酸パラメタゾン           |
| グリセリン                              | フランカルボン酸モメタゾン       | 酢酸ヒドロコルチゾン         |
| グリセリンオレイン酸エステル                     | フルオシノニド             | 酢酸ブセレリン            |
| グリセリン脂肪酸エステル                       | フルオシノロンアセトニト        | 酢酸ブレドニゾロン          |
| ケノデオキシコール酸                         | ブレドニゾロン             | 水素添加卵黄レシチン         |
| ケノ酸                                | プロチレリン              | 精製卵黄レシチン           |

|                      |                  |              |
|----------------------|------------------|--------------|
| ケラニオール変性アルコール 95vol% | ベタメタゾン           | 中鎖脂肪酸トリグリセリド |
| コール酸                 | ペンタオレイン酸デカグリセリル  | 乳酸カルシウム      |
| コハク化ゼラチン             | ペンタステアリン酸デカグリセリン | 卵黄レシチン       |

注) 上記のリストに収載されているものと同等の成分（例えば、アルキル基の異なるエステル、側鎖の長さ等が異なるのみの脂肪酸、界面活性剤、重合度が異なる脂肪酸エステル等）については、客観的に上記のリストに収載されているものと同様とみなすことができる。

### 別添3 製造販売承認申請書の記載例

#### 1 ウシ等由来原料について

(成分名〇〇〇)は、(ウシ等の動物名)(原産国)の(使用部位△△△)に由来する。製造方法は別紙規格〇〇(又は公定書規格)によるほか、健康な動物に由来する原料を使用し、BSE に感染している動物由来の原料及び生物由来原料基準反芻動物由来原料基準に定める使用してはならない部位が製造工程中で混入しないよう、採取した△△△を原料として製する。(なお、本原料については、同基準の第4項の規定に基づき、平成13年10月2日付け医薬発第1069号医薬局長通知の記の2の(1)の②の条件に適合するものである。)

(成分名〇〇〇)は、(ウシ等の動物名)の(使用部位△△△)に由来し、BSE に感染している動物由来の原料及び生物由来原料基準反芻動物由来原料基準に定める使用してはならない部位が製造工程中で混入しないよう管理された低リスク原料等に該当するものである。

#### 2 ヒト動物等由来原料について

(成分名〇〇〇)は、ヒト(動物の場合は動物名)の(使用部位)に由来する。当該成分は、原材料を提供するヒト(動物の場合は動物名)に対してドナースクリーニング(実施した検査項目、検査方法を記載)を実施して適格性が確認されており、〇〇〇〇の方法により病原体の不活化／除去処理を行ったものである。

(成分名〇〇〇)は、ヒト(動物の場合は動物名)の(使用部位)に由来する。当該成分は、健康なヒト(又は動物)に由来し、〇〇〇(原材料又は工程の別を記載)に対して検査(実施した検査項目、検査方法を記載)を行い、〇〇〇〇の方法により病原体の不活化／除去処理を行ったものである。

#### 3 血液製剤等について

(成分名〇〇〇)は、(採血国)で採血された血液に由来する。次に掲げる採血国及び採血所で採血された血液は、平成15年5月15日付け医薬発第0515020号医薬局長通知に示す献血の定義に該当するものである。(可能性のある採血国及び採血所名を列記する。)

厚生労働科学研究費補助金  
(医薬品等規制調和・評価研究事業)  
分担研究報告書

ウシ等由来原料の基準に関する研究  
研究分担者 飛梅 実 国立感染症研究所・感染病理部・主任研究官

**研究要旨**

国際獣疫事務局（OIE）により日本を含む複数国がBSEに対して「無視できるリスク国」に認定された。この結果を踏まえ、本研究では海外におけるウシ等由来原料に係る規制状況、国内の研究者等の国内規制に対する意見等について調査を行うとともに、医薬品等に用いる原料の基準について、改めてリスク評価を行い、原料基準のあり方の検討に資するため整理・検討する。同時に、原材料への他組織の混入を評価できる系の構築をめざし、生物由来原料を用いる最終製品の安全性確保に資する研究を行う。

**A. 研究目的**

1 : BSE 罹患牛の発生頻度は減少傾向にある。また近年、国際獣疫事務局(OIE)において、日本、米国を含む複数国が新たに「無視できるリスク国」に指定された。これらを踏まえ、医薬品等に用いる原料の基準について、改めてリスク評価を行い、原料基準のあり方の検討に資するため整理・検討する。

2 : 従来知られている定型BSE(c-BSE)に加え、非定型BSEに分類されるL-BSEやH-BSEが本邦をはじめとした国々より報告されている。C-BSEはvCJDとしてヒトへの伝播が確認されているが非定型BSEについてはヒトへの感染例の報告は無い。しかし、L-BSE由来プリオノンは感染実験においてサルへの伝達性が確認されており、ヒトへの伝播が懸念される。これらのことから、非定型BSE由来プリオノンのヒトへの伝達性並びにヒトプリオノン病との鑑別法の開発は急務である。

**B. 研究方法**

1 : 2007年、CVO/EU議会の勧告に伴い欧洲食品安全機関（European Food Safety Authority : EFSA）による地理的BSEリスク評価(GBR)から国際獣疫事務局（World Organisation for Animal Health : OIE）でのリスク評価基準へ移行した。これに伴い、従来のGBR評価では原産国として認定されていたが、OIE基準での認証を受けていない国の存在が明らかとなつた。これらの国に対する本邦での規制の在り方に

について、GBR評価とOIE基準の評価項目の精査ならびにリスク上昇の有無について精査した。

2 : C-BSEのサルへの感染実験ではヒト非定型クロイツフェルト・ヤコブ病（Creutzfeldt-Jakob disease : CJD）と同様の臨床症状を示し、その中枢神経系の組織病理像はplaques型のプリオノン沈着を有する特徴的な像を呈した。L-BSEのヒトへの感染例は確認されていないが、サルへの伝播は確認されている。C-BSE、L-BSE感染サル脳組織標本およびヒトプリオノン病脳組織標本を用いて免疫組織化学的に感染プリオノン種を鑑別可能か否かについて検討した。また、ヒトへの非定型BSE由来プリオノンの感染性について不明なことから、プリオノン感受性ヒト細胞を用いたin vitro検出系作出について検討した。

**(倫理面への配慮)**

報告事項なし

**C. 研究結果**

1 : 従来欧洲で用いられてきたGBR評価は対象国より提供されたデーターを基に、ほとんど可能性の無いカテゴリーIから高いレベルで確認されているレベルIVまでの4段階に分類している。一方、OIEにおけるリスク評価では、無視できるBSEリスク、管理されたBSEリスクおよび不明なBSEリスクの3段階に分類されている。GBR評価とOIE基準の調査

項目に大きな乖離は無く、移行による精度変動は無いものと思われる。また、GBR 評価では、カテゴリ一Ⅲに分類された国での BSE 発症例、アクティブサーベイランスでの BSE 症例が報告されており GBR 評価手法の妥当性が確認されている。このことから、OIE 基準により BSE リスク不明となった国々においても、GBR 評価等を参考に規定された平成 15 年 5 月 20 日厚生労働省告示第 210 号・生物由来原料基準において原材料原産国として認められていた国に関しても無視できるリスクに留まると推定される。

非定型 BSE は頻度は低いものの症例の報告がなされており、本邦においても L-BSE 例が報告されている。発生が最も多くみられているフランスでも、30 か月齢以上の牛 100 万頭当たり、H-BSE は、0.41 頭、L-BSE は 0.35 頭と非常にまれである。また、発症例は日本の 23 か月齢のウシを除き 6.3 歳から 18 歳と高齢のウシで報告されており、従来の定型 BSE に対する規制により非定型 BSE のリスクも無視できるレベルまで低減できると考えられる。

2 : c-BSE 由来プリオント原因とするヒト非定型 CJD では、患者脳組織でのプリオント沈着はプラーク型を主とする特徴的な所見を示す。サルへの C-BSE 感染実験においても同様の所見を呈し、サルはヒト感染性プリオント病の動物モデルとして有用なことが示されている。L-BSE 由来プリオントのヒトへの伝播は確認されていないが、サルへの感染性を示すことから、ヒトへの感染の可能性が示唆されている。L-BSE 感染サル脳組織を病理学的に検索した結果、C-BSE 感染サルや vCJD 患者とは異なり、プリオントはシナプスタイプのパターンを示し空胞変性が高度であった。これは、およそ 100 万人に一人程度の発症が認められる孤発性 CJD の組織像と類似しており、臨床症状も似ていた<sup>図 1-a)</sup>。免疫組織化学的手法を用いた L-BSE 特異的な染色法は見いだせなかつたが、染色前処理に NaOH および PK を用いることでシグナルの向上が図れることを明らかにした<sup>図 1-b)</sup>。

また、L-BSE 由来プリオントのヒトへの感染性および宿主側プリオント蛋白質遺伝子多形の感染性への影響を検討するため、プリオント感受性ヒト細胞株からプリオント蛋白質遺伝子欠損株の作成を試みた。CRISPR/Cas9 の系および細胞の限界希釈法を用いプリオント蛋白質遺伝子欠損株を樹立した。この細胞株に再度プリオント遺伝子発現発現プラスミドを導入し、

細胞表面へのプリオント蛋白質発現を確認できた<sup>図 2</sup>。今後、プリオント蛋白質遺伝子欠損株に各種遺伝子多形を有した発現プラスミド導入により、L-BSE 由来プリオントのヒト細胞への感染性並びに遺伝子多形の影響について検討する。

#### D. 考察および結論

1 : OIE による BSE リスク認証の妥当性を確認した。現時点では、WTO の SPS 協定のリファレンスとされる OIE 基準が、国際的なスタンダードとして受け入れられており、本邦における規制に関しても新たなリファレンスのもとで再検討されるべきと考える。また、最新のプリオント研究により得られた知見等を加味し、ウシ等由来原料の基準に対する提言をまとめた。

2 : L-BSE 由来プリオント感染サルおよびヒト孤発性 CJD 患者脳組織の病理学的特徴に差異は無かつた。このことは、ヒトへ L-BSE 由来プリオントが侵入した場合、鑑別が非常に困難なことを示している。本研究では免疫組織学的手法を用いた鑑別診断法の開発には至らなかつたが、前処理法、使用抗体の選別を進め、鑑別診断法の確立を目指す。同時に、プリオント感受性ヒト細胞株を用い、非定型 BSE 由来プリオントのヒト細胞への感受性を確認していく。

#### E. 健康危険情報

報告事項なし

#### F. 研究発表

##### 1. 論文発表

1) Murayama Y, Masujin K, Imamura M, Ono F, Shibata H, Tobiume M, Yamamura T, Shimozaki N, Terao K, Yamakawa Y, Sata T. Ultrasensitive detection of PrP(Sc) in the cerebrospinal fluid and blood of macaques infected with bovine spongiform encephalopathy prion. J Gen Virol. 2014 Nov;95(Pt 11):2576-88

2) Koga Y, Tanaka SI, Sakudo A, Tobiume M, Aranishi M, Hirata A, Takano K, Ikuta K, Kanaya S. Proteolysis of abnormal prion protein with a thermostable protease from Thermococcus kodakarensis KOD1.. Appl Microbiol Biotechnol. 2014 Mar;98(5):2113-20

2. 学会発表  
報告事項なし

2. 実用新案  
報告事項なし

G. 知的財産権の出願・登録状況

1. 特許取得  
報告事項なし

図1-a

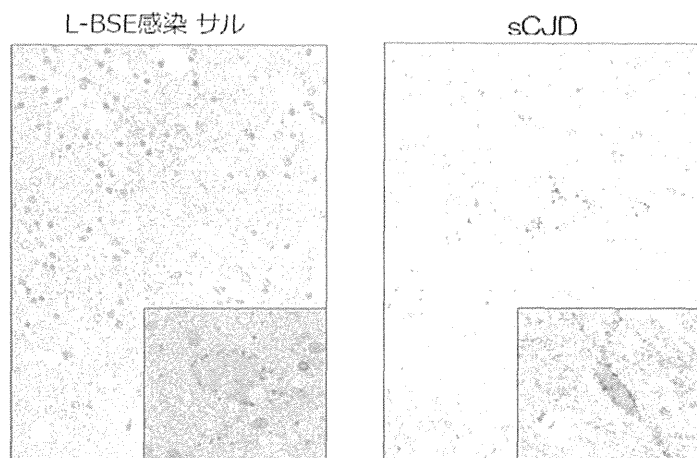


図1-b

前処理法の改良による染色性の向上

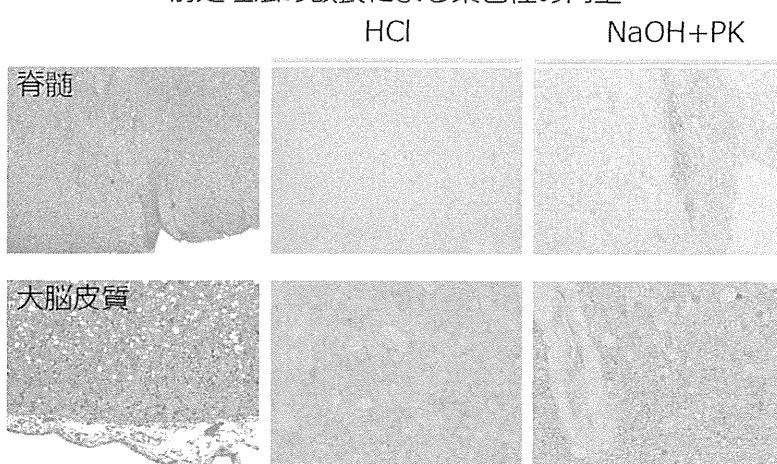
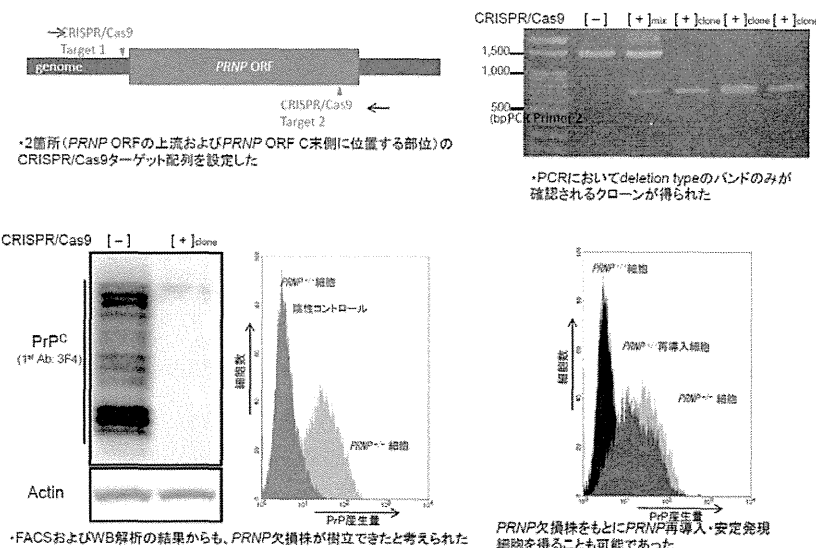
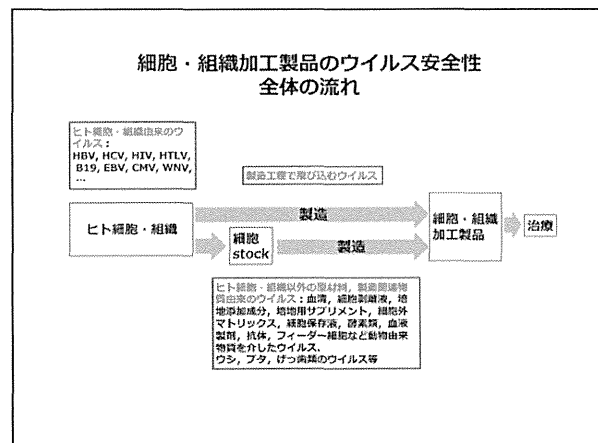
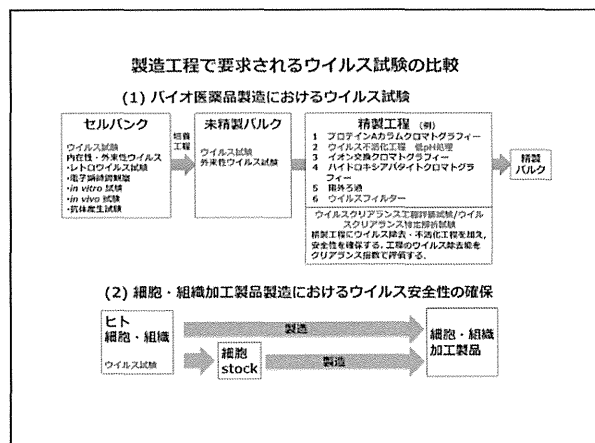
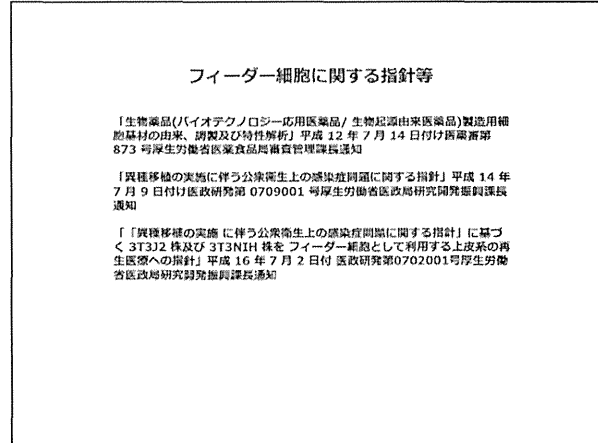
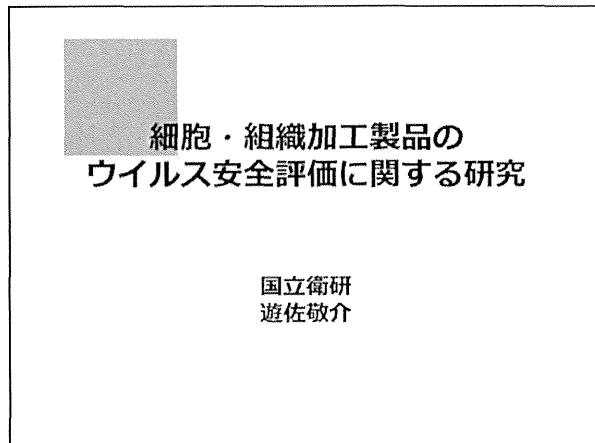


図 2



班 会 議 資 料



**ヒト幹細胞 5 指針のウイルス安全性に関する記述**

|                          | ドナーの汎用基<br>準・適格性   | バンク化がなされない<br>場合 | 異種生物学、同種生物学 | フィーダー細胞 |
|--------------------------|--|------------------|-------------|---------|
| ヒト(自己)<br>体細胞細胞培<br>養工器具 | HIV, HCV, HIV,<br>HTLVに罹患すること。<br>年々各々可能性的<br>ある場合は定期的<br>に検査する。 |                  |             |         |
|                          |  |                  |             |         |
|                          |  |                  |             |         |
|                          |  |                  | 対応          | 対応      |
| ヒトES細胞細<br>胞培養工器具        | 対応   | 対応               | 対応          | 対応      |

**ウイルス安全性確保のためにウイルス検出システムの選択肢を増やしておく必要があるのではないか？**

細胞（細胞ストック、フィーダー細胞、中間製品、最終製品等）のウイルス感染の有無を調べる必要がある場合、製造スケールが小さく、且つ短時間、高感度にウイルスを検出する必要が出てくる。バイオ医薬品を想定した ICH Q5A 等にある方法は必ずしも最適とはいえない。

多数のウイルスを短時間で、高感度、簡便に検出するシステムの構築

ウイルス安全性確保のために新規ウイルス検出システムの選択肢として以下の2つの方法を検討している

1. NGSを用いて、細胞（細胞ストック、フィーダー細胞、中間製品、最終製品等）のウイルス感染の有無を高感度、網羅的、短時間に検出できるシステム
2. 多種の動物由来ウイルス感染を短時間で、高感度、簡便に検出する多検体用qPCRシステム

#### NSGを使ったウイルス検出法で予想される問題点 <HEK293細胞を使った解析>

##### 非感染 HEK293細胞 RNA-seq データ

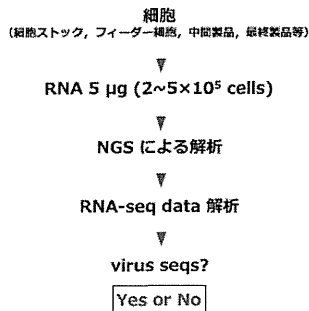
- host seqs
- unmapped seqs
- virus-like seqs
- virus-like seqs (host seqs)
- ERV-associated seqs
- virus seqs

##### ウイルス感染 HEK293細胞 RNA-seq データ

- host seqs
- unmapped seqs
- virus-like seqs
- virus-like seqs (host seqs)
- ERV-associated seqs
- virus seqs

- RNA-seqデータからバックグラウンドとなるvirus-like seqsを差し引けるか？
- 内在性レトロウイルス由来のseqsと外来性レトロウイルスを区別できるか？
- 感染ウイルスをどんな感度で検出できるか？

#### 次世代シークエンサー(NGS)を使った ウイルス検出法



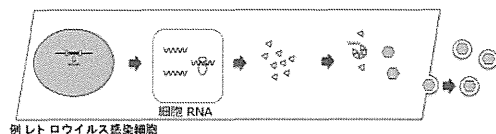
RNA-seq data using Illumina HiSeq 2500

| Samples           | No. of reads | length/read (nt) | Bases (%>=30)  |
|-------------------|--------------|------------------|----------------|
| HEK293            | 23M          | 194              | 2.310G (88.47) |
| HEK293 + FCV 12 h | 33M          | 195              | 3.316G (88.72) |
| HEK293 + FCV 24 h | 31M          | 194              | 30.96G (88.35) |

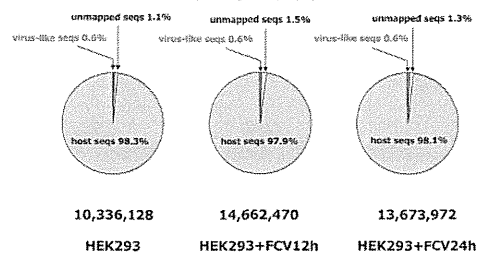
#### 細胞RNAをstarting materialsとして ウイルス感染の有無を検出する

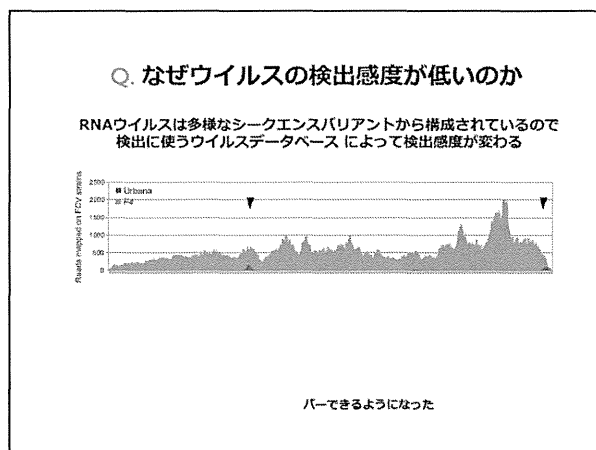
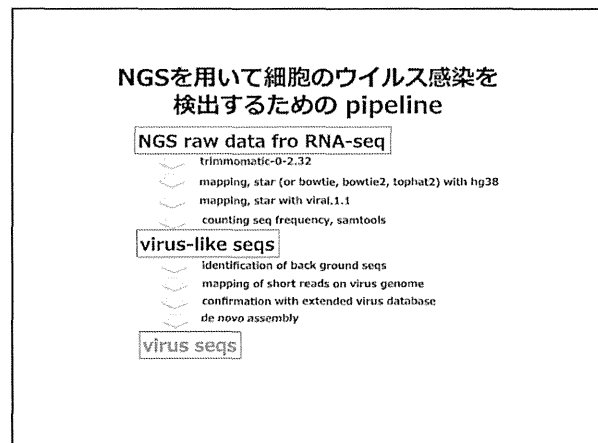
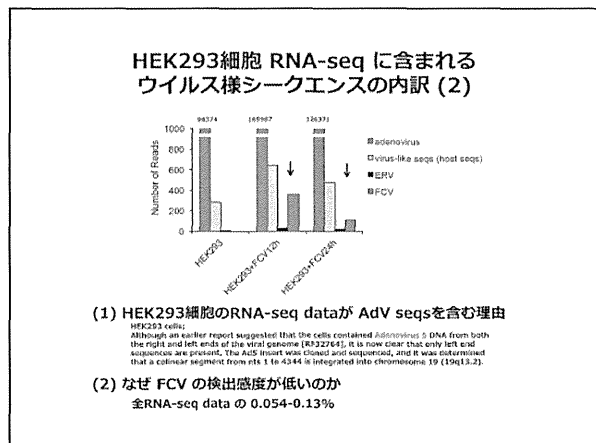
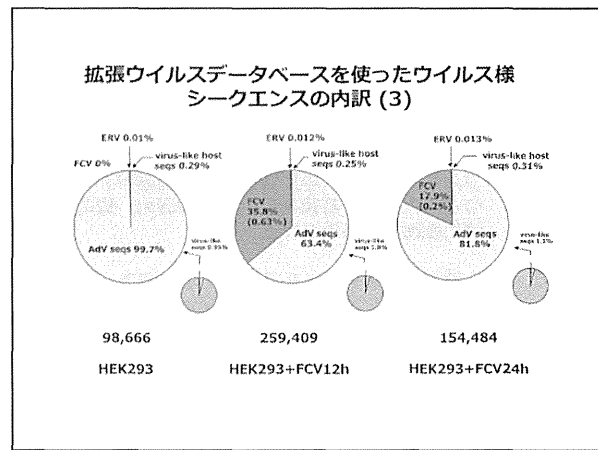
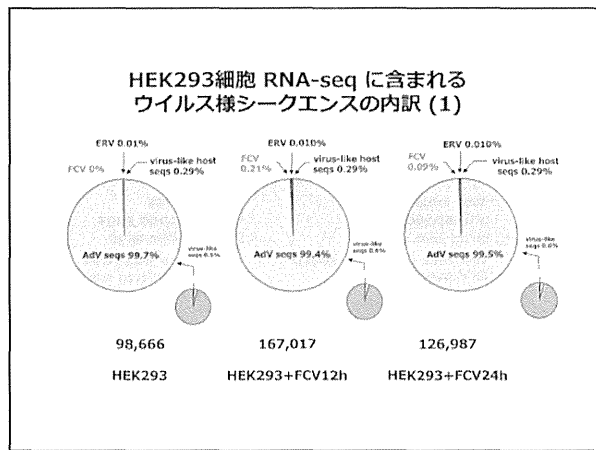
- DNAウイルス、RNAウイルスの両者を検出法する。細胞RNAの中に含まれるウイルスシークエンスを検出できる。
- その限界（検出感度）と検出できるウイルス範囲を明確に示せるか。安全性を確保できるだけのシステムを構築できるか。

原材料となる細胞  
(IPS 細胞ストック)  
　　⇒ ウィルス RNA ⇒ ウィルス  
　　タンパク質 ⇒ アッセンブリ ⇒ 出芽 & 放出  
　　⇒ フィーダー細胞

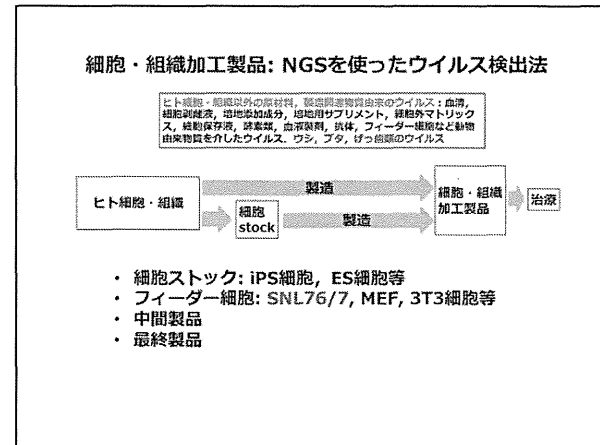
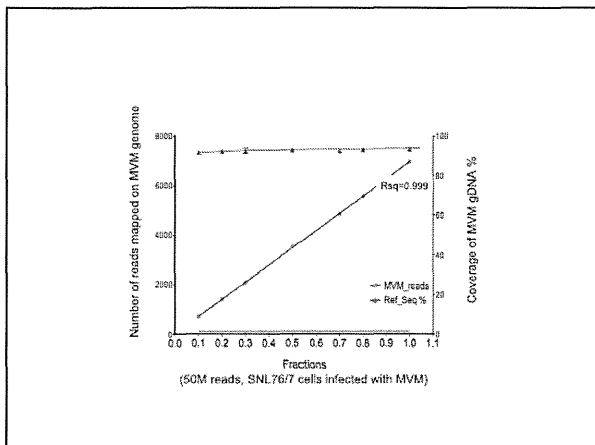


#### HEK293細胞 RNA-seq に含まれるウイルス様 シークエンス





- NSGを使ったウイルス検出法に関して考慮すべきこと**
- NSGによるシークエンシングのsizeとquality
  - 適切なデータ解析プログラムの選択
  - ウイルスゲノムデータベースの拡張 (NCBI, ...)
  - 宿主細胞 RNA-seq に含まれるウイルス様配列 (tandem repeat, poly (A)などウイルス由来と判定される配列をいかに除くか)
  - 内在性レトロウイルス由来 seqs を外来性レトロウイルスと区別できるか
  - 解析にかかる時間とコスト
  - 検出感度、検出限界、他の検出法との比較



**Analysis of RNA-seq to detect infected virus seqs**

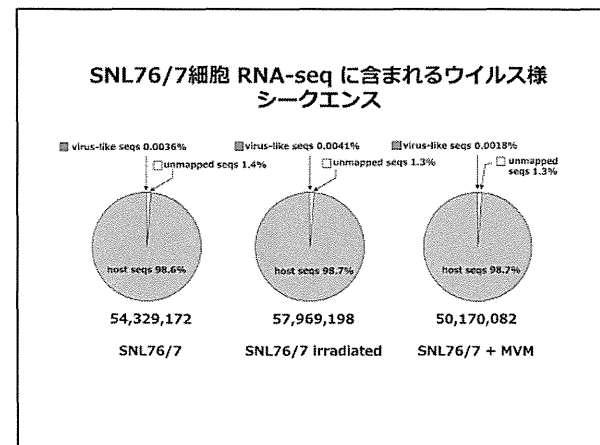
|         | Number of virus reads | Time for analysis |
|---------|-----------------------|-------------------|
| bowtie1 | 472                   | 8 min             |
| bowtie2 | 6819                  | 10 min            |
| Bwa     | 6928                  | 15 min            |
| tophat2 | 6636                  | 66 h              |
| star    | 6952                  | 3 min             |

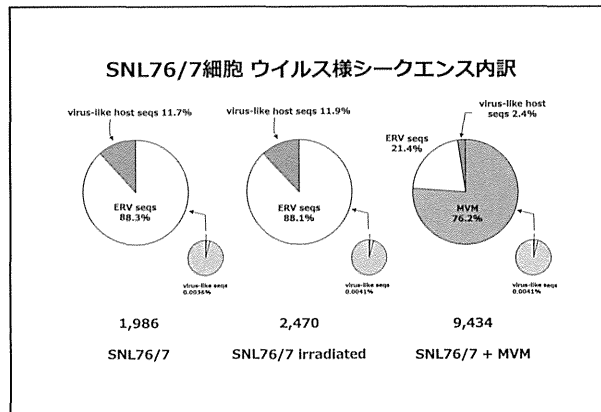
**SNL76/7細胞のRNA-seq data (Illumina HiSeq 2500)**

|                    | Number of reads | length/read (nt) | Bases (% >= 30)    |
|--------------------|-----------------|------------------|--------------------|
| SNL76/7            | 54M             | 125              | 6.791G (93.6/90.2) |
| SNL76/7 Irradiated | 58M             | 125              | 7.246G (93.6/90.5) |
| SNL76/7 + MVM      | 50M             | 125              | 6.271G (93.7/90.9) |

**NGSを使ったウイルス検出法のコストと検出時間について  
(例: HiSeq 2500, Illumina)**

| 試薬・解析  | 価格   | 1サンプル                    | 時間              |
|--|--|--------------------------|-----------------|
| RNA精製<br>(RNeasy plus universal mini kit)          | 44,500円<br>(30 samples)  | 890円                     | 2時間             |
| 純度調整キット<br>(TruSeq RNA Sample Prep Kit v2 - Set A) | 628,000円<br>(48 samples)                                       | 1,3083円<br>(=628,000/48) | 2日<br>(サンプル数観)  |
| フローセル<br>(TruSeq SR Cluster Kit v3 - cBot - HS)    | 666,000円/ラン<br>(RNA-seq 20W) ラン: 8サンプル×レーン、1レーン×8×7=72サンプル/ラン) | 9,250円<br>(=666,000/72)  | 3日<br>(シーケンシング) |
| 反応試薬<br>(TruSeq SBS Kit v3 - HS, 50 Cycle)         | 391,000円/ラン  | 5,430円<br>(=391,000/72)  |                 |
| RNA-seq ウィルス検出データ解析                                |  | ? 円                      | 2日              |
| 合計   |  | (28,653+α)円              | ~1週間            |

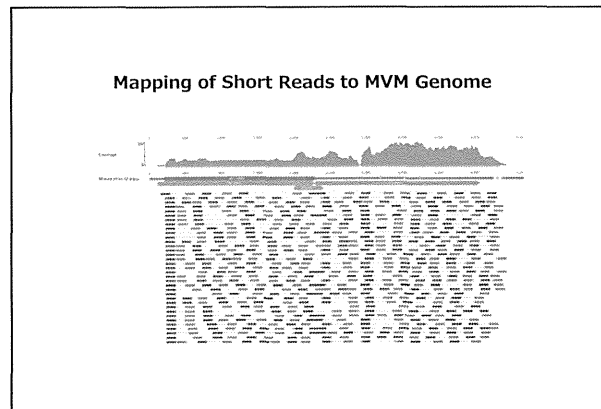




## まとめ

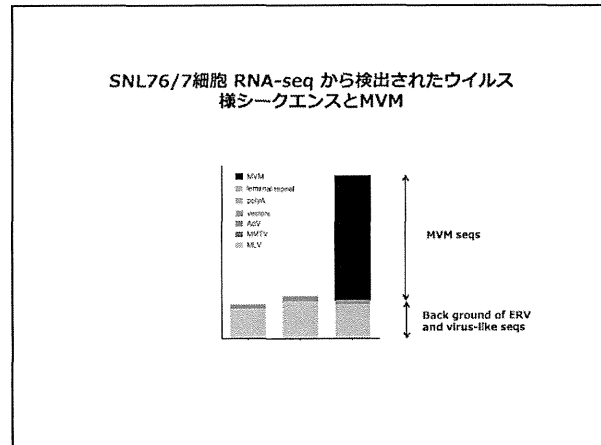
細胞・加工製品のウイルス安全性を確保するためには細胞ストック、フィーダー細胞、中間製品、最終製品等のウイルス感染の有無を高感度、網羅的に検出できる RNA-seq data 解析のための pipeline を作ることができた。

検出限界と検出できるウイルスの範囲向上させるためにはクリアすべき課題が残されている。



国立衛研  
再生・細胞医療製品部 第4室  
遊佐敬介  
苑 宇哲

<研究協力>  
熊本大学大学院 生命科学研究所 感染防御学分野  
原田信志  
前田洋助



厚生労働科学研究費補助金(医薬品等規制調和・評価研究事業)  
研究課題名: ウイルス等感染性因子安全性評価に関する研究  
平成26年度研究会会議(平成27年1月14日)

## 細胞組織加工医薬品における ウイルス検出法に関する研究

國立醫藥品食品衛生研究所  
生物藥品部  
橋井 則貴

研究背景

## —細胞組織加工医薬品のウイルス安全性確保—

「ヒト幹細胞を用いる臨床研究に関する指針」  
「ヒト(自己・同種)由来細胞・組織加工医薬品等の品質及びウイルス安全性の確保に関する指針」  
「ヒト(自己・同種)体性幹細胞加工医薬品等の品質及び安全性の確保に関する指針」  
「ヒト(自己・同種)IPS(誘導多能幹細胞)加工医薬品の品質及び安全性の確保に関する指針」

原材料、製造工程、及び最終製品の各段階における、適切なウイルス検査・試験の実施

新規の規制緩和による効率化を図るため、各機関が取り組むべき課題を明確に示す。

## —ウイルス安全性評価に関する課題—

- 専門のウイルス検査機関への委託
  - どのようなウイルスを調査すべきかの基準や検出系が確立されていない

コスト、試験期間を要する  
高リスクの複数のウイルスに対する迅速且つ高感度な検出・評価手法の確立が重要

## 研究内容

#### 混入が懸念されるウイルスのリスト化

## 細胞特性に依存したウイルス感染性の評価

## 高感度なウイルス検出系の確立

ウイルス感染は、ウイルスが細胞表面の受容体に結合することが引き金となり起こることから、受容体の発現は、細胞のウイルス感受性評価の指標の一つとして利用できる可能性がある。

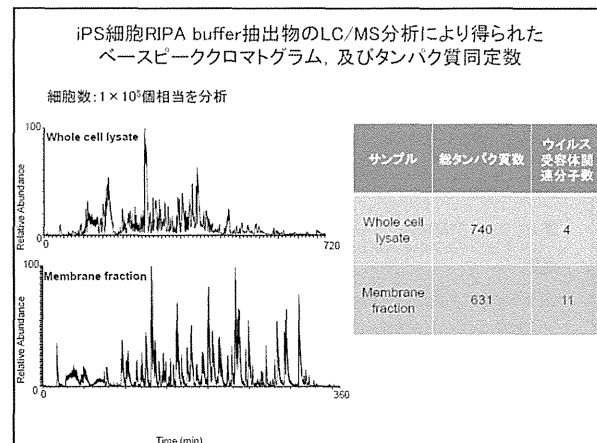
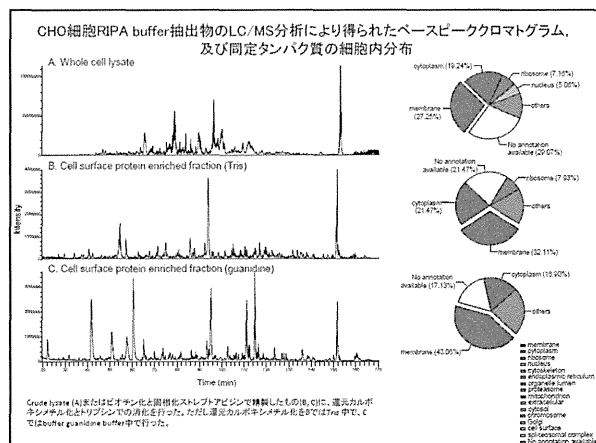
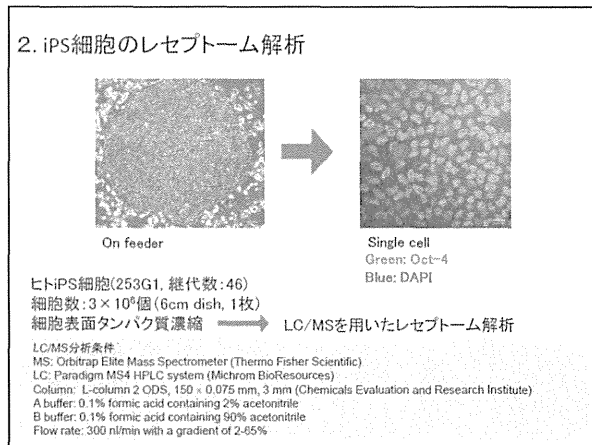
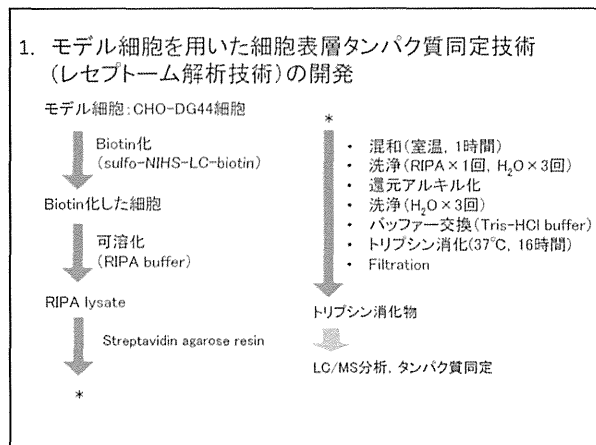
## ウイルス受容体を指標とした細胞組織加工医薬品のウイルス感受性評価

#### プロテオーム解析技術を利用したモデル細胞のレセプトーム解析

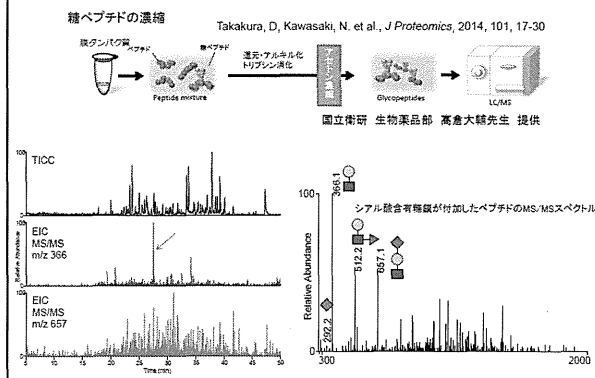
ウイルス受容体の同定→細胞の感受性が高いウイルスの特徴

### △感染性リスクの高いウイルスの玉藻

| ウイルス受容体分子と、それらを利用する事が知られているウイルス3                     |  |
|--|--|
| Cation (Ca <sup>2+</sup> ) channel receptor (Ion-4)  | Lytic  |
| Chemokine receptor CCR5 (Chemokine receptor type 5)  | HIV  |
| Chemokine receptor CXCR4 (Chemokine receptor type 4) | Neurofibromatosis and polyclonal murine leukaemia virus  |
| Chondroitin sulphate A receptor                      | Herpes simplex virus (C)   |
| Chondroitin sulphate B receptor                      | DVZV   |
| JAM (Junction adhesion molecule)                     | Sarcolemma   |
| FcγR (Fc gamma R)                                    | Serotype Ia hepatitis A virus  |
| Gα <sub>i</sub> (G protein)                          | Human rotavirus  |
| Gα <sub>s</sub> (G protein)                          | Escherichia coli   |
| Gα <sub>t</sub> (G protein)                          | Adenovirus 5   |
| Gα <sub>q</sub> (G protein)                          | Adenovirus 36, 40, 55  |
| Gα <sub>12</sub> (G protein)                         | Adenovirus 2   |
| αvβ3 (Integrin receptor)                             | Human papilloma virus (HPV)  |
| All integrins  | Coronaviruses  |
| integrins  | Sarcolemma   |
| Chondroitin sulphate proteoglycans                   | Retroviruses   |
| CD40   | CD40 ligand  |
| Interferon-gamma receptor                            | SV40 polyomavirus  |
| Receptor sulfate proteoglycan                        | Vaccinia virus, Adenovirus, Herpesvirus, Cytomegalovirus, Dengue virus, HCV, CMV, HSV-1 and -2, HIV, RSV, Rhinovirus |
| Receptor sulfate proteoglycans                       | Fowl and mink disease virus  |
| Ubiquitin receptor-like 1                            | Human T-cell lymphotropic virus  |
| spike acid   | Coronaviruses  |
| α2,3 sialic acid                                     | Influenza A virus  |
| α2,6 sialic acid                                     | Influenza A virus (highly pathogenic)  |
| α2,8 sialic acid                                     | Influenza A virus (human)  |



## シアル酸付加糖鎖の確認



声とめ

- ビオチン化とストレプトアビシンを利用した細胞表面タンパク質の濃縮を行うことで、効率良く細胞表面に分布するウイルス受容体を回収することができた。
  - IPSのセグメント一解釈を行った結果、11種類のタンパク質が同定された。また、シアル酸付加糖鎖の存在が確認された。
  - 本研究で使用したIPS網錠は、以下に示すウイルスに対する感受性が高い可能性が示唆された。

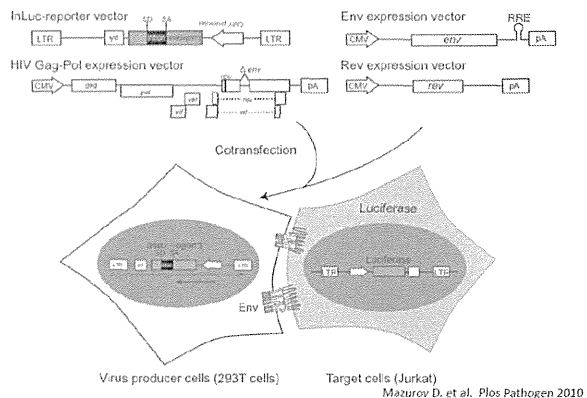
| 半研究で既知のウイルス   | 既知のウイルスに対する可能性の高いウイルス   |
|---|---|
| 40S ribosomal protein SA  | Sindbis virus   |
| CD81 antigen  | HCV   |
| Claudin-6   | ICV   |
| Coxsackievirus and adenovirus receptor                                    | Adenovirus 2<br>Adenovirus subgroups A, C, D, E, F<br>Coxsackievirus B1 to B6 |
| Heat shock 70 kDa protein 1A/1B   | Japanese encephalitis virus   |
| Heat shock 70 kDa protein 4   |   |
| Integlin beta-1   | Echovirus 1 and 5<br>Human rotavirus<br>Human herpesvirus 3                   |
| Junctional adhesion molecule  | Measlesvirus<br>Orbofivirus   |
| Lysosome membrane protein 2   | Enterovirus 71  |
| Nucleolin   | RSV (respiratory syncytial virus)   |
| Solute carrier family 2, facilitated glucose transporter member 1 (GLUT1) | Human T cell leukaemia virus 1  |
| Stictic acid  | Adenovirus<br>Rhinovirus?<br>Hobmavirus<br>Influenza A virus                  |

赤字:下記論文で報告されたウイルス(混入する可能性の高いウイルス)リストに含まれるウイルス  
Kobayashi T, Yusa K, Kawasaki N. *Bulletin of National Institute of Health Sciences*, 2013;(131):7-15

## レトロウイルス感染細胞の感染リスク評価法の開発

熊本大学大学院生命科学研究所  
前田洋助

### HTLV-1 Envによるcell-cell 感染のアッセイ系

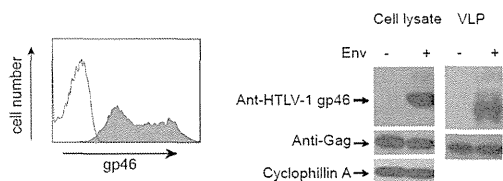


### HTLV-1の感染リスクの評価系の確立

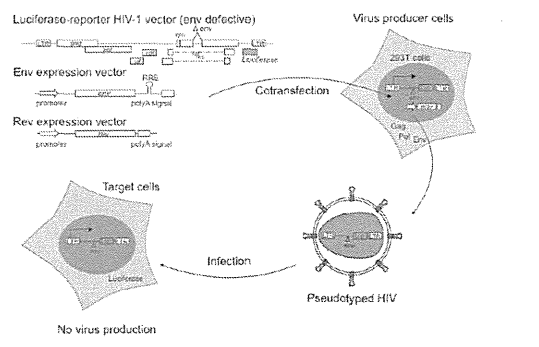
- 細胞組織加工製品やバイオ医薬品へのHTLV-1混入による感染の危険性がどの程度あるのかを明らかにする。
- HTLV-1の感染においてはその伝播様式別感染性の差異についての定量的解析が十分になされていない。
- HTLV-1の侵入に関与するEnvの伝播様式別感染性の評価法の開発
  - Cell-free 感染
  - Cell-cell 感染

### HTLV-1 Envの細胞表面発現とレトロウイルス粒子内取り込み

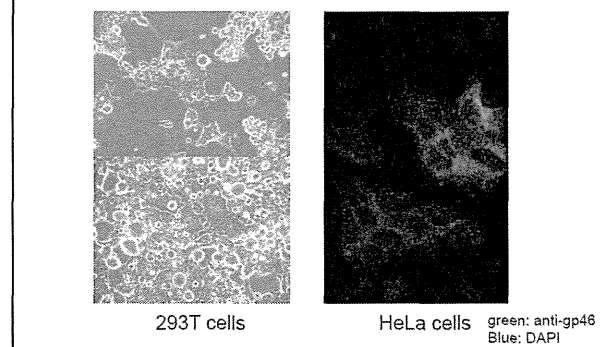
A. Flow cytometry      B. Western Blot



### HTLV-1 Envによるcell-free感染のアッセイ系



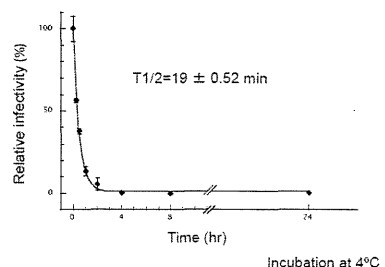
### HTLV-1 Envの膜融合能



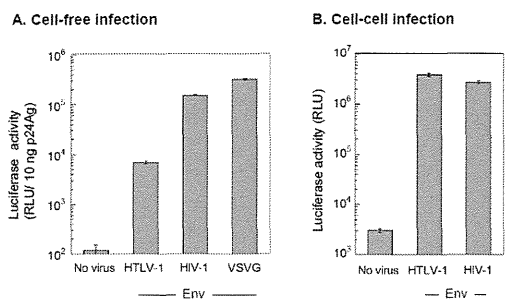
## HTLV-1 Envの感染性および安定性の評価

1. HTLV-1 Envの感染性の評価
  - Cell-freeとcell-cell 感染の比較
  - HIV-1 Envの感染性との比較
2. HTLV-1 Envのレトロウイルス粒子内安定性
  - 種々の温度処理による感染性の評価

## Kinetics of HTLV-1 Env stability



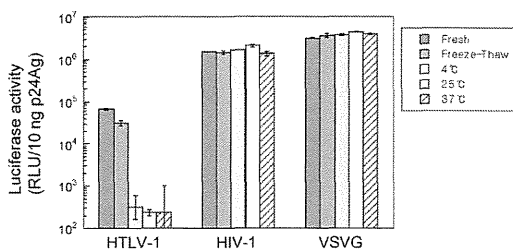
## Infectivity of human retrovirus Envs



## まとめ

- HTLV-1 Envによるcell-cell およびcell-free 感染の定量的感染リスク評価法を確立した。
- レトロウイルス粒子内のHTLV-1 EnvはHIV-1 Envに比較して20倍以上感染性が低いことが判明した。
- レトロウイルス粒子内のHTLV-1 Envの感染性は温度に依存せず非常に不安定である。

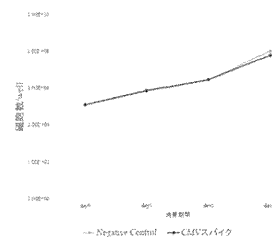
## Instability of HTLV-1 Env at any temperatures



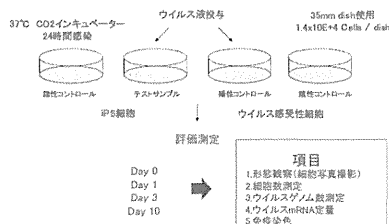
ウイルス安全性の基礎データ収集  
(スパイク試験法の開発と実施)

東京医科歯科大学 再生医療研究センター  
清水 則夫

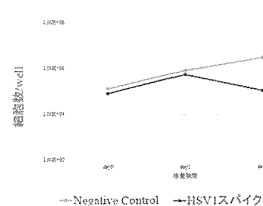
CMV感染 iPS 細胞の増殖



ウイルススパイク試験



HSV1感染 iPS 細胞の増殖



ウイルス液

|      | ウイルス株    | 濃度                  |
|------|----------|---------------------|
| CMV  | Towne株   | 7.0x1.0E+5 PFU / ml |
| HSV1 | Strain F | 7.8x1.0E+5 PFU / ml |

ウイルス感受性細胞株

|      | 細胞名     | 細胞由来                |
|------|---------|---------------------|
| CMV  | IHF-L-1 | 正常二倍体線維芽細胞, ピ静止細胞由来 |
| HSV1 | Vero    | アフリカモリザル 脾臍由来       |

iPS cells

CMV

